

УПРАВЛЕНИЕ В СТОХАСТИЧЕСКИХ СИСТЕМАХ  
И В УСЛОВИЯХ НЕОПРЕДЕЛЕННОСТИ

УДК 62.50

СИНГУЛЯРНЫЕ РЕШЕНИЯ ЗАДАЧИ С НАЧАЛЬНЫМИ  
УСЛОВИЯМИ ДЛЯ УРАВНЕНИЯ АНИЗОТРОПНОЙ ДИФФУЗИИ\*

© 2000 г. Д. В. Ковков, В. И. Цурков

Москва, ВЦ РАН

Поступила в редакцию 19.11.99 г.

Для уравнений анизотропной диффузии, которые используются при обработке изображений, найден класс функций существования слабого решения задачи Коши в виде Гельдер-непрерывных функций. Результаты численных расчетов показывают одновременное сохранение бесконечных градиентов (кромки) и подавление шумов.

**Введение.** В [1] П. Перона и Дж. Малик предложили использовать дифференциальные уравнения в частных производных типа диффузии для обработки двумерных изображений, где благодаря параболической специфике имеет место подавление шумов, а ввиду стремления коэффициента диффузии к нулю для бесконечных градиентов одновременно сохраняются кромки. В [2] в отличие от [1] берется не дивергентная форма уравнений, чтобы избежать неустойчивости по Адамару задачи с начальными условиями, и вводится некоторая приближенная модель с малым параметром. В [3] найдены автомоделные решения одномерных уравнений для рассматриваемого вырождения. Полученные сингулярные решения с особенностью гельдеровского типа определяют модель сохранения кромки во времени.

В данной работе рассматривается задача Коши для уравнений указанного класса. Найден класс функций, в котором существуют слабые решения. Это уже упомянутые Гельдер-непрерывные функции. Доказательство основано на получении внутренних априорных оценок для констант Липшица для некоторых преобразованных исходных переменных. Проведены численные расчеты, где в начальный момент времени на функции с сингулярностью гельдеровского типа накладываются функции различных шумов. Получено, что сингулярность сохраняется во времени, а шумы исчезают. Это решает проблему Пероны – Малика об одновременном подавлении шумов и сохранении кромок, где под кромкой понимается сингулярная функция гельдеровского типа. Эти результаты показывают, что рассмотрение приближенной модели со сверткой [2] и малым параметром уже заранее, приводят к сглаживанию таких сингулярностей (т.е. кромок).

**1. Постановка задачи.** Рассмотрим уравнение в частных производных параболического типа с

одной пространственной переменной

$$\frac{\partial u}{\partial t} = k \left( \frac{\partial u}{\partial x} \right) \frac{\partial^2 u}{\partial x^2}, \quad (1.1)$$

где коэффициент диффузии является положительным и зависит от производной решения, он стремится к нулю, когда производная становится неограниченной, т.е.  $k \left( \frac{\partial u}{\partial x} \right) \rightarrow \infty$  при  $\left| \frac{\partial u}{\partial x} \right| \rightarrow \infty$ .

В связи с (1.1) рассмотрим уравнение

$$\frac{\partial u}{\partial t} = \frac{1}{(u_x)^m} \frac{\partial^2 u}{\partial x^2}, \quad (1.2)$$

где при  $m > 0$  коэффициент теплопроводности удовлетворяет указанному свойству. В [3] найдены автомоделные решения для (1.2) при указанном вырождении. Здесь

$$u(t, x) = u(\xi), \quad \xi = (t + 1)^\alpha x,$$

при этом для  $m > 2$ ,  $\alpha = \frac{1}{m-2}$  получена следующая аналитическая формула:

$$u'(\xi) = \left( \frac{1}{\alpha m} \right)^{\frac{1}{m}} \left( \frac{2}{\alpha m} (u'(0))^{-m} - \xi^2 \right)^{\frac{1}{m}},$$

из которой следует сингулярность гельдеровского типа для автомоделного решения уравнения (1.2). Эта сингулярность сохраняется во времени в силу автомоделных решений и дает аналитическую модель сохранения кромки [3].

Введем обозначение  $C^2 = \frac{2}{\alpha m} (u'(0))^{-m}$ . Интегрируем разложение

$$(C^2 - \xi^2)^{\frac{1}{m}} = (2C)^{\frac{1}{m}} (C - \xi)^{\frac{1}{m}} +$$

\* Работа выполнена при финансовой поддержке РФФИ (проект № 99-01-01066).

$$+ \frac{(2C)^{-\frac{1}{m}}}{2mC} (C - \xi)^{1 - \frac{1}{m}} + O\left((C - \xi)^{2 - \frac{1}{m}}\right)$$

в окрестности точки  $\xi = C$ . Отсюда следует, что вблизи точки  $\xi = C$  имеет место разложение по степеням  $(C - \xi)$

$$u(\xi) = B + (\alpha m C)^{\frac{1}{m}} \frac{m}{m-1} (C - \xi)^{1 - \frac{1}{m}} + \frac{(\alpha m C)^{\frac{1}{m}}}{2mC} \frac{m}{m-2} (C - \xi)^{2 - \frac{1}{m}} + O\left((C - \xi)^{3 - \frac{1}{m}}\right).$$

Далее будет установлено, что и задача Коши для (1.2) имеет класс существования решения в виде Гёльдер-непрерывных функций. Здесь имеется полная аналогия с уравнением медленной диффузии. Найденные сингулярные температурные волны в [4, 5] указали на класс функций, в котором существует обобщенное решение соответствующих задач с начальными условиями [6]. Хотя, конечно, результаты не переносятся автоматически, так как уравнения нелинейной диффузии с коэффициентом, зависящим от градиента, имеют свои специфические свойства.

**2. Априорные оценки.** Изучим свойства решения задачи Коши для уравнения (1.2). Для нас важную роль будет иметь так называемая *потенциальная функция*  $V$ , которая вводится следующим образом:

$$u = V|V|^{\frac{1}{m}} + \bar{u}_0, \tag{2.1}$$

здесь  $x_0$  – точка сингулярности для начальных данных и  $\bar{u}_0 = u(x_0)$ . Для возрастающих функций из Гёльдер-непрерывного класса с показателем  $\frac{m-1}{m}$  функция  $V$  является регулярной в окрестности точки  $x_0$ . Она монотонно возрастает и равна нулю в точке  $x_0$ . Для упомянутой выше модели кромки потенциальная функция является Липшиц-непрерывной.

Из (1.2) и (2.1) получим, что потенциальная функция  $V$  удовлетворяет уравнению

$$\frac{\partial V}{\partial t} = \frac{V \frac{\partial^2 V}{\partial x^2} - \frac{1}{m} \left(\frac{\partial V}{\partial x}\right)^2}{\left(\frac{\partial V}{\partial x}\right)^m}. \tag{2.2}$$

По методу [6] далее будут получены внутренние априорные оценки для производной потенциальной функции в задаче с начальными условиями. Рассматриваем классическое решение уравнения

(2.2) в прямоугольнике  $R = (a, b) \times (0, T]$ . Введем обозначения

$$\bar{R} = (a_1, b_1) \times (0, T] \subset R, \quad M = \max_{\bar{R}} |V|,$$

$$M_1 = \max_{[a, b]} |V_x(x, 0)|.$$

**Т е о р е м а 1.** Пусть  $V$  – классическое решение (2.2) в  $\bar{R}$ , а  $M_1 < \infty$ . Тогда в  $\bar{R}^*$  имеет место неравенство  $|V_x(x, t)| \leq C$ , где зависит только от  $m, M, a_1 - a, b - b_1, M_1$ .

**Д о к а з а т е л ь с т в о.** Сделаем гладкую замену переменной  $V = \varphi(w)$ . Вид конкретной функции  $\varphi$  укажем позже. Эта функция должна удовлетворять условию взаимно однозначного соответствия, т.е.  $\varphi'(w) > 0$ . Функция  $w$  удовлетворяет уравнению

$$w_t = \frac{w_x^2 \left( \varphi \frac{\varphi''}{\varphi'} - \frac{1}{m} \varphi' \right) + \varphi w_{xx}}{(\varphi')^m (w_x)^m}.$$

Продифференцируем обе части этого уравнения по  $x$ . Имеем уравнение

$$p_t = \left( - (m-2) \frac{p_x}{p^{m-1}} \frac{\left( \varphi \frac{\varphi''}{\varphi'} - \frac{1}{m} \varphi' \right)}{(\varphi')^m} + \frac{p}{p^{m-2}} \left[ \frac{\varphi'' + \varphi \left( \frac{\varphi''}{\varphi'} \right)'}{(\varphi')^m} - \frac{1}{m} \varphi'' + \frac{(-m\varphi'') \left( \varphi \frac{\varphi''}{\varphi'} - \frac{1}{m} \varphi' \right)}{(\varphi')^{m+1}} \right] + \left( \left( \frac{p_{xx}}{p} - m \frac{p_x^2}{p^{m+1}} \right) \frac{\varphi}{(\varphi')^m} + \frac{p_x p}{p^m} \left( \frac{\varphi'}{(\varphi')^m} - m \frac{\varphi'' \varphi}{(\varphi')^{m+1}} \right) \right),$$

где введено обозначение  $p = w_x$ . После преобразований умножим это уравнение на  $p$  и перенесем члены, содержащие  $p_t$  и  $p_{xx}$  налево, а остальные слагаемые оставим справа. Получаем следующее соотношение:

$$\begin{aligned} & 1/2(2pp_t) - \frac{\varphi p p_{xx}}{(\varphi' p)^m} = \\ & = \frac{1}{(\varphi' p)^m} \left[ 2(1-m)p^2 p_x \left( \varphi \frac{\varphi''}{\varphi'} - \frac{1}{m} \varphi' \right) + \right. \end{aligned} \tag{2.3}$$

$$+ p^4 \left[ \varphi'' \left( 2 - \frac{1}{m} \right) + \varphi \left( \frac{\varphi''}{\varphi'} \right)' - m \varphi \left( \frac{\varphi''}{\varphi'} \right)^2 \right] - m p_x^2 \varphi \Big].$$

Рассмотрим вспомогательную функцию

$$z(x, t) = (\zeta(x)p(x, t))^2, \quad (2.4)$$

где  $\zeta(x)$  – гладкая функция класса  $C^2[a, b]$  и  $\zeta = 0$  в окрестностях точек  $x = a, x = b$ ;  $\zeta = 1$  на  $[a_1, b_1]$ ,  $0 \leq \zeta \leq 1$ . Функция (2.4) принимает максимальное на  $\bar{R}$  значение либо при  $t = 0$ , либо на  $\bar{R}^*$ . В последнем случае в точке максимума  $(x_0, t_0)$  выполняются неравенства

$$z_x = 2\zeta^2 p p_x + 2\zeta \zeta_x p^2 = 0 \quad (2.5)$$

и  $z_{xx} \leq 0, z_t \geq 0$ . (Если максимум достигается при  $t = T$ , то  $z_t \geq 0$ . Если же наибольшее значение достигается во внутренних точках  $R^*$ , то  $z_t = 0$ .)

В любом случае в точке  $(x_0, t_0)$  имеет место неравенство

$$z_t - \frac{\varphi z_{xx}}{(\varphi' p)^m} \geq 0.$$

Подставляя сюда (2.4), получим

$$2\zeta^2 p p_t - \frac{2\varphi}{(\varphi' p)^m} [\zeta \zeta_{xx} p^2 + \zeta_x^2 p^2 + \zeta^2 p_x^2 + \zeta^2 p p_{xx} + 4\zeta \zeta_x p p_x] \geq 0. \quad (2.6)$$

Поскольку  $|4\zeta \zeta_x p p_x| \leq \zeta^2 p_x^2 + 4\zeta_x^2 p^2$  (неравенство Коши–Шварца), то, подставляя это неравенство в (2.6) и учитывая (2.5), получим

$$\zeta^2 \left( p p_t - \frac{\varphi p p_{xx}}{(\varphi' p)^m} \right) \geq \frac{\varphi p^2}{(\varphi' p)^m} (\zeta \zeta_{xx} - 3\zeta_x^2).$$

Из (2.3) и (2.5)

$$\varphi p^2 (\zeta \zeta_{xx} - 3\zeta_x^2) \leq 2(1-m)p^3 \zeta \zeta_x \left( \varphi \frac{\varphi''}{\varphi'} - \frac{1}{m} \varphi' \right) + \zeta^2 p^4 \left( \varphi'' \left( 2 - \frac{1}{m} \right) + \varphi \left( \frac{\varphi''}{\varphi'} \right)' - m \varphi \left( \frac{\varphi''}{\varphi'} \right)^2 \right) - m \zeta_x^2 p^2 \varphi.$$

Запишем это в виде

$$\begin{aligned} -\zeta^2 p^4 \left( \varphi'' \left( 2 - \frac{1}{m} \right) + \varphi \left( \frac{\varphi''}{\varphi'} \right)' - m \varphi \left( \frac{\varphi''}{\varphi'} \right)^2 \right) &\leq \\ &\leq 2(1-m)p^3 \zeta \zeta_x \left( \varphi \frac{\varphi''}{\varphi'} - \frac{1}{m} \varphi' \right) - \\ &- \varphi p^2 (\zeta \zeta_{xx} + (m-3)\zeta_x^2). \end{aligned} \quad (2.7)$$

Выберем теперь функцию  $\varphi$  так, чтобы в левой части множитель в скобках был строго отрица-

тельным:

$$\varphi'' \left( 2 - \frac{1}{m} \right) + \varphi \left( \frac{\varphi''}{\varphi'} \right)' - m \varphi \left( \frac{\varphi''}{\varphi'} \right)^2 \leq \delta < 0.$$

Этому условию, а также условиям гладкости, монотонности и ограниченности удовлетворяет, на-

пример, функция  $\varphi(x) = e^{\frac{x}{M}}$  при

$$\begin{aligned} |x| \leq M, \quad 0 < e^{-1} &\leq \varphi(x) \leq e, \\ 0 < M e^{-1} &\leq \varphi'(x) \leq M e, \quad \frac{\varphi''(x)}{\varphi'(x)} \equiv M. \end{aligned}$$

Указанный множитель равен

$$M^2 \varphi \left( 2 - \frac{1}{m} - m \right) \leq -M^2 e^{-1} < 0.$$

Следовательно, коэффициент при  $\zeta^2 p^4$  в неравенстве (2.7) строго положительный. Поэтому из (2.7) вытекает, что в точке  $(x_0, t_0)$  справедливо неравенство

$$2\zeta^2 p^4 \leq C_1 p^2 + \zeta C_2 |p|^3, \quad (2.8)$$

где константы  $C_1$  и  $C_2$  зависят лишь от  $a_1 - a, b - b_1$ ,

$M, m$ . Учитывая, что  $\zeta C_2 |p|^3 \leq \zeta^2 p^4 + \frac{C_2^2}{4} p^2$ , получим из (2.8)

$$z = \zeta^2 p^2 \leq C_1 + \frac{C_2^2}{4} = C_3.$$

Принимая во внимание, что наибольшее значение  $z$  может достигать и на границе (при  $t = 0$ ), имеем

$$z(x, t) \leq \max_{\bar{R}} z(x, t) \leq \max \{ C_3, M_1 \} = C_4.$$

Следовательно,

$$\max_{\bar{R}^*} |w_x| \leq C_4^{1/2}.$$

А поскольку  $V_x = \varphi'(w)w_x$  и  $\varphi' \leq M e$ , то получаем

$$\max_{\bar{R}^*} |V_x| \leq M e C_4^{1/2} = C.$$

Из теоремы следует, что если начальные данные для уравнения (1.2) принадлежат к классу Гёльдер-непрерывных функций с показателем  $1 - \frac{1}{m}$ , то и в последующие моменты времени особенность этого типа будет сохраняться.

Под решением уравнения (1.2) в слабом смысле в прямоугольнике  $R = [a, b] \times [0, T]$  понимается непрерывная функция  $u(x, t)$ , такая, что функции

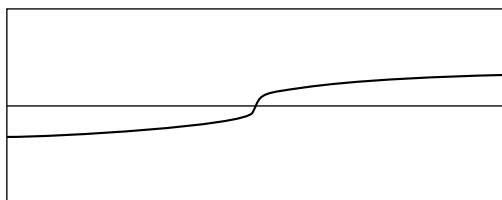


Рис. 1. Стандартная кромка.

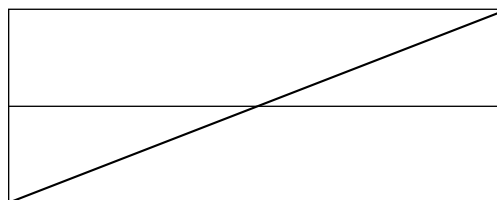


Рис. 2. Потенциальная функция стандартной кромки.

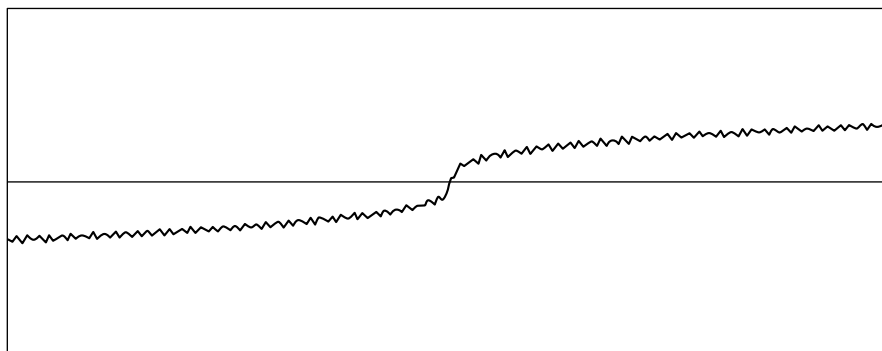


Рис. 3. Стандартная кромка с наложением синусоидального шума.

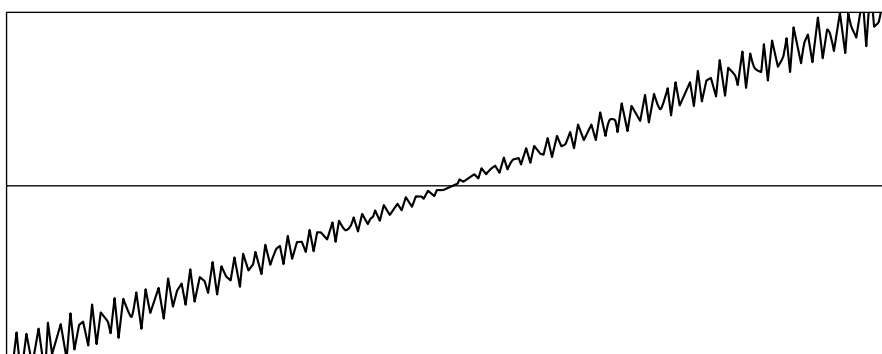


Рис. 4. Потенциальная функция кромки с синусоидальным шумом (рис. 3).

$u$  и  $\frac{1}{(u_x)^{m-1}}$  являются непрерывными на  $R$  и для любой функции  $\eta \in C^1(R)$ ,  $\eta|_{\partial R} = 0$  выполняется интегральное соотношение

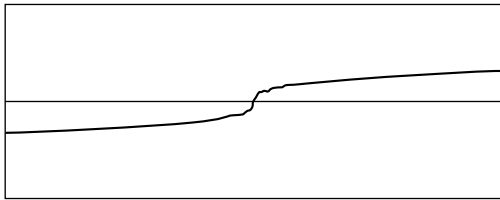
$$\iint_R \left[ u \eta_t + \frac{1}{m-1} \frac{\eta_x}{(u_x)^{m-1}} \right] dx dt = 0.$$

По аналогии с [6] можно установить, что в случае решений, имеющих одну точку сингулярности, справедливо существование слабого решения задачи Коши для уравнения (1.2) с начальными данными в классе Гёльдер-непрерывных функций. Можно установить, что в тех точках, где  $u_x \neq \infty$ , обобщенное решение является решением и в сильном смысле.

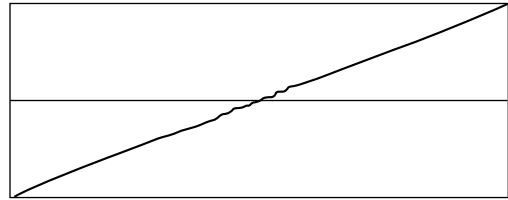
**3. Одновременное сохранение бесконечных градиентов и подавление шумов.** Был проведен ряд численных расчетов, в которых решалось уравнение (1.2) с начальными данными в виде сингулярной функции, на которую накладывались шумы различных видов. При вычислениях использовалась неявная схема для уравнений параболического типа, где коэффициент диффузии брался с текущего слоя: на  $j$ -м шаге решение определяется системой уравнений

$$u_i^{j+1} - u_i^j = \frac{\tau}{h^2} \frac{1}{\left| \frac{u_{i+1}^j - u_{i-1}^j}{2h} \right|^m} (u_{i+1}^{j+1} - 2u_i^{j+1} + u_{i-1}^{j+1})$$

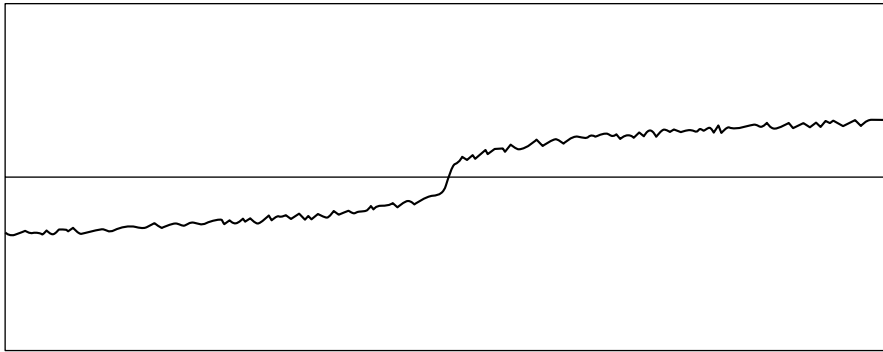
с граничными условиями. Здесь  $\tau$  и  $h$  – шаги по времени и пространству (можно задавать их про-



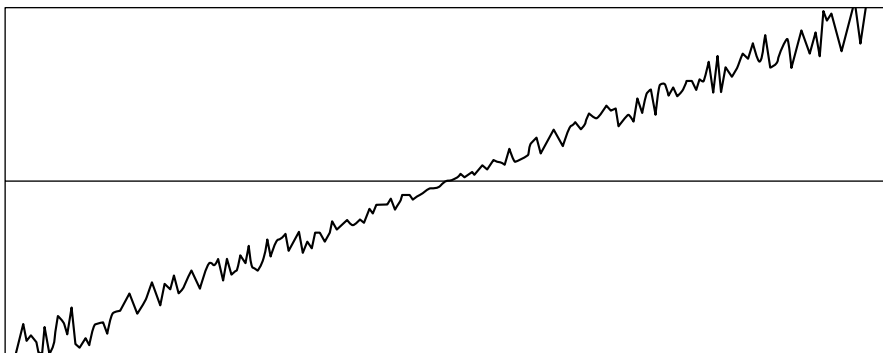
**Рис. 5.** Решение уравнения (1.2) с начальными данными на рис. 3, 4 после 90 итераций.



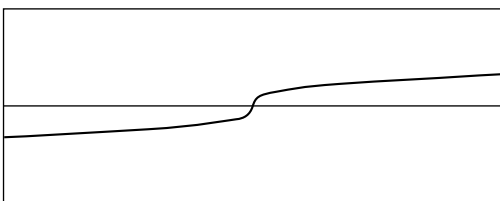
**Рис. 6.** Потенциальная функция решения, изображенного на рис. 5.



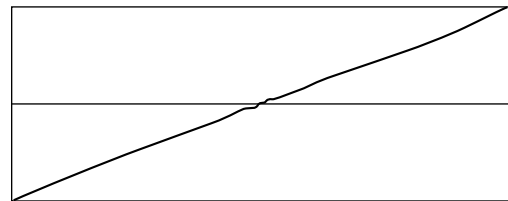
**Рис. 7.** Стандартная кромка с наложением случайного шума.



**Рис. 8.** Потенциальная функция кромки со случайным шумом (рис. 7).



**Рис. 9.** Решение уравнения (1.2) с начальными данными на рис. 7, 8 после 90 итераций.



**Рис. 10.** Потенциальная функция решения, изображенного на рис. 9.

извольными). Решая на каждом шаге полученную трехдиагональную систему уравнений, получаем значения, которые выводятся на печать. В последующих примерах берется  $m = 3$ , шаги выбраны равными соответственно  $\tau = 0.0001$  и  $h = 0.01$ . На графиках представлены сами решения  $u$  и его потенциальные функции.

На рис. 1 и 2 изображена стандартная кромка и ее потенциальная функция соответственно. На кромку накладывается синусоидальное возму-

$$u_0(x) = \begin{cases} x|x|^{\frac{1}{m}} & \text{при } |x| \neq 0 \\ 0 & \text{при } x = 0, \end{cases}$$

щение (шум). Соответствующие функции  $u$  и  $V$  изображены на рис. 3 и 4.

На рис. 5 и 6 представлено решение уравнения (1.2) для  $u$  и  $V$  соответственно после 90 итераций. Затем то же самое проделывается для случайного шума (см. рис. 7–10). Полученные графики показывают одновременное подавление шумов с сохранением бесконечных градиентов (кромки), что решает проблему Пероны–Малика.

#### СПИСОК ЛИТЕРАТУРЫ

1. *Perona P., Malik J.* Scale-space and edge detection using anisotropic diffusion // *IEEE Trans. On Pattern Anal. and Mach. Intel.* 1990. V. 12. № 7.
2. *Alvarez L., Lions P.-L., Morel J.-M.* Image selective smoothing and edge detection by nonlinear diffusion. II // *SIAM J. Numer. Anal.* 1992. V. 29. № 3.
3. *Цурков В.И.* Аналитическая модель сохранения кромки при подавлении шумов посредством анизотропной диффузии // *Изв. РАН. ТиСУ.* 2000. № 3.
4. *Зельдович Я.Б., Компаниец А.С.* К теории распространения тепла при теплопроводности, зависящей от температуры // *Сборник посвященный семидесятилетию акад. А.Ф. Иоффе.* М.: Изд-во АН СССР, 1950.
5. *Баренблатт Г.И.* О некоторых неустановившихся движениях жидкости и газа в пористой среде // *ПММ.* 1952. Т. 16. Вып. 1.
6. *Aronson D.G.* Regularity properties of flows through porous media // *SIAM J. Appl. Math.* 1969. V. 17. № 2 (March).